

沉默信息调节因子 2 对 SCA3/MJD 转基因果蝇的神经保护作用及其与自噬的相关性研究 *

曾爱源^{1) **} 朱惊雷^{1) **} 洪亢亢¹⁾ 张灼华²⁾ 段然慧²⁾ 孙莉¹⁾ 刘承伟¹⁾

魏小莉¹⁾ 韦荔莉¹⁾ 陈梅玲¹⁾ 林小慧¹⁾ 陈薇¹⁾ 李清华^{1) ***}

(¹⁾桂林医学院附属医院神经内科, 桂林 541001; ²⁾中南大学医学遗传学国家重点实验室, 长沙 410078)

摘要 为探讨沉默信息调节因子 2(Sir2)在 SCA3/MJD 发病机制中的作用。选用 GMR-GAL4 和 Nrv2-GAL4 驱动子, 利用经典的 GAL4-UAS 系统, 将含有 78 个 CAG 重复扩增的 ataxin-3 蛋白片段(MJDtr-Q78)分别在果蝇眼睛和运动神经元内选择性表达, 构建 GMR-GAL4/UAS 和 Nrv2-GAL4/UAS 系统 SCA3/MJD 转基因果蝇模型, 然后分别在抑制和不抑制自噬的情况下, 使 Sir2 在 SCA3/MJD 转基因果蝇眼睛和运动神经元内过表达。结果发现, Sir2 过表达明显抑制了 SCA3/MJD 转基因果蝇眼睛视网膜光感受神经元变性, 显著改善了果蝇运动能力, 而在自噬被抑制后, Sir2 的作用效果明显减弱, 表明 Sir2 对 SCA3/MJD 转基因果蝇具有神经保护作用, 而这种神经保护作用需要依赖自噬的功能。

关键词 遗传性脊髓小脑性共济失调 3 型, 沉默信息调节因子 2(Sir2), 转基因果蝇, 自噬, 神经保护

学科分类号 R74, R394

DOI: 10.3724/SP.J.1206.2011.00367

SCA3/MJD(spinocerebellar ataxia type 3/Machado-Joseph disease, SCA3/MJD)是遗传性脊髓小脑型共济失调(spinocerebellar ataxia, SCA)中最常见的亚型, 在中国人群中, 该型几乎占所有 SCA 患者的 50%, 临床表现为小脑性共济失调、眼球运动障碍、视神经萎缩、锥体束征、锥体外系征、肌萎缩, 甚至周围神经损害^[1-2]。

Sirtuins 是一类依赖烟酰胺腺嘌呤二核苷酸(nicotin amide adenine dinucleotide, NAD)的组蛋白去乙酰化酶(histone deacetylase, HDAC)家族, 与能量代谢、抗氧化应激、抗凋亡、延长细胞寿命等细胞过程密切相关, 从原核生物到真核生物均高度保守^[3-4]。在酵母、线虫和果蝇中, 沉默信息调节因子 2(silent information regulator 2, Sir2)则是 Sirtuins 家族最重要的成员。研究表明, Sir2 具有广泛的生物学作用, 如抗炎、抗氧化、清除自由基等^[5]。

为研究 Sir2 对 SCA3/MJD 是否具有神经保护作用, 我们采用遗传干预使 Sir2 在 GMR-GAL4/UAS 系统 SCA3/MJD 转基因果蝇视网膜光感受神

经元和 Nrv2-GAL4/UAS 系统 SCA3/MJD 转基因果蝇运动神经元内过表达, 观察 Sir2 过表达对 GMR-GAL4/UAS 系统和 Nrv2-GAL4/UAS 系统 SCA3/MJD 转基因果蝇是否具有保护作用, 并进一步验证这种保护作用是否与自噬有关。

1 材料与方法

1.1 材料

1.1.1 果蝇品系. 基因型 w[1118]; P{w[+mC]=EP}Sir2^[EP2300] DnaJ-H^[EP2300]/CyO 的 24859 果蝇品系(简称 Sir2^{EP2300} 果蝇), 购自美国 Bloomington 果蝇中心。基因型 p{w[+mC]=longGMR-GAL4}2/CyO}

* 国家自然科学基金(30960112, 81160163), 广西自然科学基金(0991259, 0899014), 广西卫生厅课题(Z2007197)和桂林市科技与开发课题(20080707)资助项目。

** 共同第一作者。

*** 通讯联系人。

Tel: 0773-2823730, E-mail: qqli1999@yahoo.com.cn

收稿日期: 2011-08-10, 接受日期: 2011-09-26

的 8605 果蝇品系(简称 GMR-GAL4 果蝇), 基因型 w[*]; P{w[+mC]=UAS-Hsap/MJDtr-Q78}c211.2 的 8150 果蝇品系(简称 UAS-MJDtr-Q78 果蝇), 基因型 w[*]; P{w[+mC]=UAS-Hsap/MJDtr-Q27}N18.3 的 8149 果蝇品系(简称 UAS-MJDtr-Q27 果蝇), 基因型 w[*]; P{Nrv2-GAL4.S}8 P{UAS-GFP.S65T}T10 的 6794 果蝇品系(简称 Nrv2-GAL4 果蝇), 基因型 w1118, Act-Gal4/Cyo, w[1118]; P{GD11671}v45558(简称 UAS-Atg7^{RNAi} 果蝇), Sco/Cyo, TM3/TM6 果蝇均由中南大学医学遗传学国家重点实验室提供.

1.1.2 试剂. 葡萄糖(国药基团化学试剂有限公司); 蔗糖(天津大茂化学试剂厂); 琼脂糖(日本); 对羟基苯甲酸甲酯(上海山浦化工); 酵母粉(梅山 - 马利酵母公司); 玉米粉及苹果绿色素(市场购买).

1.2 方法

1.2.1 GMR-GAL4/UAS 系统 SCA3/MJD 转基因果蝇.

a. 构建 w; GMR-GAL4, UAS-MJDtr-Q78/Cyo 果蝇. 将 UAS-MJDtr-Q78 雄性果蝇与 GMR-GAL4 处女蝇杂交, 构建基因型为 w; GMR-GAL4/UAS-MJDtr-Q78 的 GMR-GAL4/UAS 系统 SCA3/MJD 转基因果蝇模型. 将 w¹¹¹⁸ 处女蝇与 Act-GAL4/Cyo 雄性果蝇杂交, 构建基因型为 w; +/Cyo 的果蝇, 再将此雄性果蝇与 w; GMR-GAL4/UAS-MJDtr-Q78 处女蝇杂交, 筛选复眼色素脱失且卷翅的子代, 即基因型为 w; GMR-GAL4, UAS-MJDtr-Q78/Cyo 的果蝇.

b. 构建 GMR-GAL4, UAS-MJDtr-Q78/Sir2^{EP2300} 果蝇. 将 Sir2^{EP2300} 与上述构建的 GMR-GAL4, UAS-MJDtr-Q78/Cyo 果蝇杂交, 筛选基因型为 GMR-GAL4, UAS-MJDtr-Q78/Sir2^{EP2300} 果蝇.

c. 构建 GMR-GAL4, UAS-MJDtr-Q78/Sir2^{EP2300}; UAS-Atg7^{RNAi}/+ 果蝇. 通过双平衡系果蝇(基因型 w; CyO/Sco; TM3/TM6)对 Sir2^{EP2300} 果蝇品系进行平衡, 构建 w; Sir2^{EP2300}/Cyo; TM3/TM6; 挑选处女蝇与 UAS-Atg7^{RNAi} 果蝇品系(基因型 Sco/Cyo; UAS-Atg7^{RNAi}/TM3) 进行杂交, 筛选基因型为 Sir2^{EP2300}/Cyo; UAS-Atg7^{RNAi}/TM3, 与上述构建的 GMR-GAL4, UAS-MJDtr-Q78/Cyo 果蝇杂交, 在子代中筛选基因型为 GMR-GAL4, UAS-MJDtr-Q78/Sir2^{EP2300}; UAS-Atg7^{RNAi}/+ 的果蝇.

d. 观察 Atg7 被 RNA 干扰后, Sir2 对 GMR-GAL4/UAS 系统 SCA3/MJD 转基因果蝇的影

响. 通过电脑体视显微镜观察第 7 天的 GMR-GAL4, UAS-MJDtr-Q78/Cyo 果蝇, GMR-GAL4, UAS-MJDtr-Q78/Sir2^{EP2300} 果蝇以及 GMR-GAL4, UAS-MJDtr-Q78/Sir2^{EP2300}; UAS-Atg7^{RNAi}/+ 果蝇的复眼结构和色泽, 通过电镜分别在 180 倍和 1000 倍下观察其单眼结构.

e. 用半定量 RT-PCR 检测 GMR-GAL4/UAS 系统 SCA3/MJD 转基因果蝇 Sir2 或 Atg7 mRNA 表达水平. 取第 7 天的 GMR-GAL4, UAS-MJDtr-Q78/Cyo 果蝇, GMR-GAL4/+; UAS-MJDtr-Q27/+ 果蝇(对照), GMR-GAL4, UAS-MJDtr-Q78/Sir2^{EP2300} 果蝇; GMR-GAL4, UAS-MJDtr-Q78/Sir2^{EP2300}; UAS-Atg7^{RNAi}/+ 果蝇各 50 只, 将这些果蝇脑组织切下, 提取总 RNA. 以 rp49 基因为内参, 根据文献[6]合成 Sir2 或 Atg7 和 rp49 引物, 进行实时半定量 PCR 检测各果蝇品系 Sir2 或 Atg7 mRNA 表达水平.

1.2.2 Nrv2-GAL4/UAS 系统 SCA3/MJD 转基因果蝇.

a. 构建 UAS-MJDtr-Q78/+; Nrv2-GAL4/+ 果蝇. 将 Nrv2-GAL4 果蝇直接与 UAS-MJDtr-Q78 果蝇杂交, 在子代中筛选 UAS-MJDtr-Q78/+; Nrv2-GAL4/+ 果蝇.

b. 构建 UAS-MJDtr-Q78/Sir2^{EP2300}, Nrv2-GAL4/+ 果蝇. 将 Sir2^{EP2300} 果蝇平衡成 CyO/Sir2^{EP2300}; TM3/TM6 果蝇. 将 Nrv2-GAL4 果蝇平衡成 Sco/Cyo; Nrv2-GAL4/TM3 果蝇, 两者杂交后筛选 CyO/Sir2^{EP2300}; Nrv2-GAL4/TM3 果蝇. 然后与 UAS-MJDtr-Q78 果蝇杂交, 在子代中筛选 UAS-MJDtr-Q78/Sir2^{EP2300}; Nrv2-GAL4/+ 果蝇.

c. 构建 UAS-MJDtr-Q78/Sir2^{EP2300}; UAS-Atg7^{RNAi}/Nrv2-GAL4 果蝇. 将 UAS-MJDtr-Q78/Cyo; TM3/TM6 果蝇与 Sco/Cyo; UAS-Atg7^{RNAi}/TM3 果蝇杂交, 在子代中筛选 UAS-MJDtr-Q78/Cyo; UAS-Atg7^{RNAi}/TM6 果蝇, 然后与 CyO/Sir2^{EP2300}; Nrv2-GAL4/TM3 果蝇杂交, 在子代中筛选 UAS-MJDtr-Q78/Sir2^{EP2300}; UAS-Atg7^{RNAi}/Nrv2-GAL4 果蝇.

d. 观察自噬抑制与不抑制的情况下, Sir2 对 Nrv2-GAL4/UAS 系统 SCA3/MJD 转基因果蝇模型的影响.

① 检测果蝇的爬行能力.

即负趋地性(negative geotaxis)试验, 根据参考文献[7], 将第 7 天的 UAS-MJDtr-Q27/Nrv2-GAL4 果蝇(对照), UAS-MJDtr-Q78/+; Nrv2-GAL4/+ 果蝇, UAS-MJDtr-Q78/Sir2^{EP2300}; Nrv2-GAL4/+ 果蝇,

UAS-MJDtr-Q78/Sir2^{EP2300}, UAS-Atg7^{RNAi}/Nrv2-GAL4 果蝇 4 个品系, 每个品系 100 只雄性果蝇麻醉后放入一个垂直的 20 cm 高的塑料管, 每管放入 10 只, 30 min 后果蝇复苏, 因果蝇的负趋地性特点, 果蝇会离开瓶底向上爬行, 计数在 30 s 后仍留在瓶底的果蝇数量, 计算离开瓶底的果蝇数, 每个实验组(瓶)重复进行 3 次, 统计学方法采用配对 *t* 检验。

② 检测果蝇的飞行能力。

利用 DAM5 果蝇活力监测系统 (DAM5 drosophila activity monitor), 观察、记录及分析果蝇运动能力(该仪器通过一个红外光束穿过把果蝇饲养管分成两半, 当果蝇在管内来回走动时, 它们将切割红外光, 这些运动数据则被记录下来); 将第 7 天的 UAS-MJDtr-Q27/Nrv2-GAL4 果蝇(对照), UAS-MJDtr-Q78/ + ; Nrv2-GAL4/ + 果蝇, UAS-MJDtr-Q78/Sir2^{EP2300}; Nrv2-GAL4/ + 果蝇, UAS-MJDtr-Q78 /Sir2^{EP2300}; UAS-Atg7^{RNAi}/Nrv2-GAL4 果蝇共 4 个品系, 每个品系 8 只果蝇, 每管放入 1 只, 记录每管内单只果蝇切割红外线的数据, 取每

个品系 8 只果蝇的平均值, 比较每个品系的飞行能力, 重复进行 3 次, 统计学方法采用配对 *t* 检验。

e. 用半定量 RT-PCR 检测 Nrv2-GAL4/UAS 系统 SCA3/MJD 转基因果蝇 Sir2 或 Atg7mRNA 表达水平。取第 7 天的 Nrv2-GAL4/UAS-MJDtr-Q27(对照), UAS-MJDtr-Q78/ + ; Nrv2-GAL4/ + 果蝇, UAS-MJDtr-Q78/Sir2^{EP2300}; Nrv2-GAL4/ + 果蝇, UAS-MJDtr-Q78/Sir2^{EP2300}; Nrv2-GAL4/UAS-Atg7^{RNAi} 果蝇各 50 只, 将这些果蝇脑组织切下, 提取总 RNA, 以 rp49 基因为内参, 进行实时半定量 PCR 检测各果蝇品系 Sir2 或 Atg7 mRNA 表达水平。

2 结 果

2.1 GMR-GAL4/UAS 系统 SCA3/MJD 转基因果蝇

2.1.1 Sir2 过表达显著抑制了 GMR-GAL4/UAS 系统 SCA3/MJD 转基因果蝇神经变性。正常对照组野生型果蝇复眼结构完整、纹路清晰、色泽鲜艳呈红色; 高电压下观察果蝇单眼结构完整, 刚毛排列整齐。GMR-GAL4/UAS 系统 SCA3/MJD 转基因果

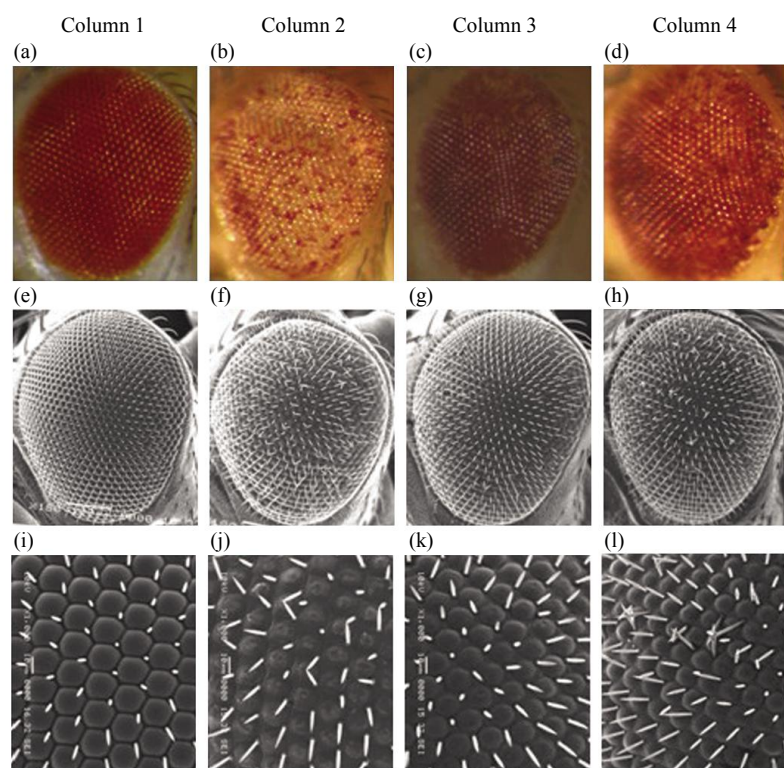


Fig. 1 Overexpression of Sir2 suppresses polyglutamine induced degeneration in *Drosophila*

(a)~(d): Light microscopy images of fly eyes ($\times 54$). (e)~(h): Scanning electron microscopy (SEM) images of fly eyes ($\times 180$). (i)~(l): Scanning electron microscopy (SEM) images of fly eyes ($\times 1000$). Column 1: Flies expressing GMR-GAL4 with MJDtr-Q27. The eye is normal. Genotype of flies is GMR-GAL4/ + ; MJDtr-Q27/ + . Column 2: Flies expressing the MJDtr-Q78 shows rough eyes. Genotype of flies is GMR-GAL4, MJDtr-Q78/CyO. Column 3: Flies coexpressing MJDtr-Q78 with the Sir2 transgenes. Degeneration was suppressed by expression of Sir2. Genotype of flies is GMR-GAL4, MJDtr-Q78/Sir2^{EP2300}. Column 4: Flies coexpressing MJDtr-Q78 with the Sir2 in a background of Atg7 knockdown. RNAi knockdown of Atg7 inhibited Sir2 suppressing degeneration in fly eyes expressing MJDtr-Q78. Genotype of flies is GMR-GAL4, MJDtr-Q78/Sir2^{EP2300}, Atg7^{RNAi}/ + .

蝇模型复眼外形不规则, 纹路消失, 正常红色色泽缺失严重; 高电压下可见塌陷, 单眼不清楚, 刚毛短且折断, 刚毛排列紊乱; 过表达 Sir2 后, 果蝇复眼较前者呈现明显的好转, 纹路较清晰, 果蝇复眼色素明显增多; 高电压下单眼结构基本成型, 界限清楚, 刚毛较 SCA3/MJD 转基因果蝇明显增多、整齐(图 1)。

2.1.2 抑制自噬后, Sir2 过表达对 GMR-GAL4/UAS 系统 SCA3/MJD 转基因果蝇神经变性的抑制作用明显减弱. *Atg7* 基因被 RNA 干扰后, Sir2 过表达的 GMR-GAL4/UAS 系统 SCA3/MJD 转基因果

蝇复眼色素明显减少, 纹路模糊, 高电压下, 果蝇单眼结构不完整, 且刚毛折断, 排列紊乱(图 1)。

2.1.3 GMR-GAL4/UAS 系统 SCA3/MJD 转基因果蝇 Sir2 或 Atg7 mRNA 水平. 相较于 GMR-GAL4/+; UAS-MJDtr-Q27/+ 果蝇或 GMR-GAL4, UAS-MJDtr-Q78/CyO 果蝇, GMR-GAL4, UAS-MJDtr-Q78/Sir2^{EP2300}; UAS-Atg7^{RNAi}/+ 果蝇和 GMR-GAL4, UAS-MJDtr-Q78/ Sir2^{EP2300} 果蝇的 Sir2 表达量增加了约 5.6 倍, 而 *Atg7* 被 RNA 干扰后, 果蝇的 *Atg7* mRNA 量明显下降, 约为 RNA 干扰前的 25% 左右(图 2)。

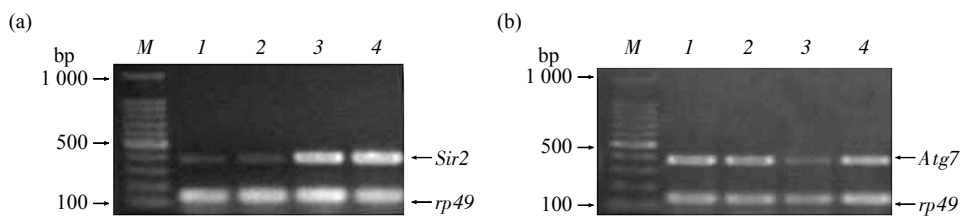


Fig. 2 Difference in the level of expression of *Sir2* and *Atg7* genes among fly lines with GMR-GAL4/UAS

RNA was extracted for reverse transcription. Semi-quantitative PCR was performed to determine the inducible mRNA expression levels of *Sir2*(a) and *Atg7*(b) genes with *rp49* as control. *Sir2* (a), from 2 to 4, 1, 5.6, 5.6-fold increase for *Sir2* mRNA level compared to the control (I) respectively; *Atg7*(b), from 2 to 4, 1, 0.25, 1-fold decrease for *Atg7* mRNA level compared to the control (I) respectively. I: Flies expressing MJDtr-Q27 with GMR-GAL4/UAS. Genotype of flies GMR-GAL4/+; UAS-MJDtr-Q27/+; 2: Flies expressing MJDtr-Q78 with GMR-GAL4/UAS. Genotype of flies GMR-GAL4, UAS-MJDtr-Q78/CyO; 3: Flies co-expressing expanded polyglutamine protein and *Sir2* in the background of *Atg7* knockdown. Genotype of flies is GMR-GAL4, UAS-MJDtr-Q78/Sir2^{EP2300}, UAS-Atg7^{RNAi}/+; 4: Flies co-expressing expanded polyglutamine protein and *Sir2* gene. Genotype of flies is GMR-GAL4, UAS-MJDtr-Q78/Sir2^{EP2300}.

2.2 Nrv2-GAL4/UAS 系统 SCA3/MJD 转基因果蝇的运动能力

2.2.1 Sir2 过表达显著改善了 Nrv2-GAL4/UAS 系统 SCA3/MJD 转基因果蝇的爬行能力. 与 UAS-MJDtr-Q27/Nrv2-GAL4 果蝇比较, UAS-MJDtr-Q78/+; Nrv2-GAL4/+ 果蝇的爬行能力下降了 46%, UAS-MJDtr-Q78/Sir2^{EP2300}; Nrv2-GAL4/+ 果蝇的爬行能力达到了 UAS-MJDtr-Q27/Nrv2-GAL4 果蝇的 82%, 较 UAS-MJDtr-Q78/+; Nrv2-GAL4/+ 果蝇的爬行能力增强了 28%(图 3)。

2.2.2 抑制自噬后, Sir2 过表达对 Nrv2-GAL4/UAS 系统 SCA3/MJD 转基因果蝇爬行能力的改善作用减弱. UAS-MJDtr-Q78/Sir2^{EP2300}; Nrv2-GAL4/UAS-Atg7^{RNAi} 果蝇的爬行能力较 UAS-MJDtr-Q78/Sir2^{EP2300}; Nrv2-GAL4/+ 果蝇下降了 24%(图 3)。

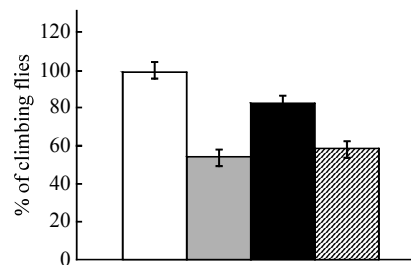


Fig. 3 RNAi knockdown of *Atg7* suppressed *Sir2* improving climbing ability of SCA3 *Drosophila* model

Climbing ability of flies expressing MJDtr-Q78 is 54% compared with the control flies (flies expressing MJDtr-Q27, Genotype of them is Nrv2-GAL4/UAS-MJDtr-Q27), and climbing ability of flies expressing MJDtr-Q78 in the presence of *Sir2* increase 28%, however, climbing ability of flies coexpressing MJDtr-Q78 and *Sir2* in the background of *Atg7* knockdown decrease 24%. Each line includes 100 flies. □: UAS-MJDtr-Q27/Nrv2-GAL4; ■: UAS-MJDtr-Q78/+; Nrv2-GAL4/+; ▨: Sir2^{EP2300}/UAS-MJDtr-Q78; Nrv2-GAL4/+; ▨: Sir2^{EP2300}/UAS-MJDtr-Q78; UAS-Atg7^{RNAi}/Nrv2-GAL4.

2.2.3 Sir2 过表达显著改善了 Nrv2-GAL4/UAS 系统 SCA3/MJD 转基因果蝇的飞行能力。根据 DAM5 果蝇活力监测系统记录的结果分析, Nrv2-GAL4/UAS 系统 SCA3/MJD 转基因果蝇的飞行能力较正常对照果蝇下降近 73%, 而 Sir2 过表达的 Nrv2-GAL4/UAS 系统 SCA3/MJD 转基因果蝇的爬行能力则达到正常对照果蝇的 95%, 较干预前提高了 22%(图 4)。

2.2.4 抑制自噬后, Sir2 过表达对 Nrv2-GAL4/UAS 系统 SCA3/MJD 转基因果蝇的飞行能力的改善作用减弱。Atg7 表达下调后, 果蝇飞行能力下降至正常对照果蝇的 40%, 较干预前下降了 55% (图 4)。

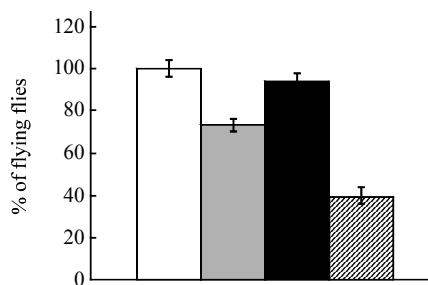


Fig. 4 RNAi knockdown of Atg7 suppressed Sir2 improving flight ability of SCA3 Drosophila model

Flight ability of flies expressing MJDtr-Q78 is 73% compared with the control flies (flies expressing MJDtr-Q27, Genotype of them is Nrv2-GAL4/UAS-MJDtr-Q27), and flight ability of flies expressing MJDtr-Q78 in the presence of Sir2 increase by 95%, however, flight ability of flies coexpressing MJDtr-Q78 and Sir2 in the background of Atg7 knockdown decrease to 40% . Each line includes 100 flies. □: UAS-MJDtr-Q27/Nrv2-GAL4; ■: UAS-MJDtr-Q78/+; Nrv2-GAL4/+; ▨: Sir2^{EP2300}/UAS-MJDtr-Q78; UAS-Atg7^{RNAi}/Nrv2-GAL4.

2.2.5 Nrv2-GAL4/UAS 系统 SCA3/MJD 转基因果蝇 Sir2 及 Atg7 mRNA 表达水平检测结果。与 GMR-GAL4/UAS 系统 SCA3/MJD 转基因果蝇类似, UAS-MJDtr-Q78/Sir2^{EP2300}, Nrv2-GAL4/+果蝇和 UAS-MJDtr-Q78/Sir2^{EP2300}, Nrv2-GAL4/UAS-Atg7^{RNAi} 果蝇中 Sir2 的表达量也增加了 5.2 倍。而 Atg7 被 RNA 干扰后, 果蝇的 Atg7 mRNA 量明显下降, 约为 RNA 干扰前的 10%左右(图 5)。

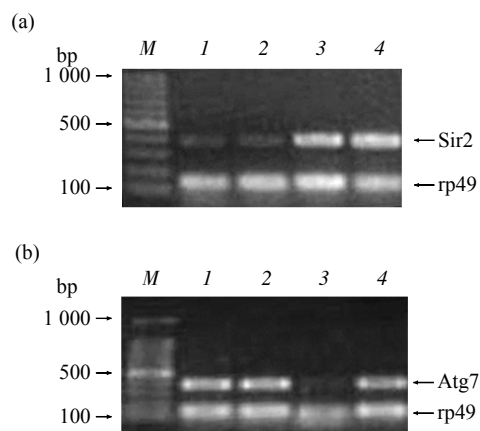


Fig. 5 Difference in the level of expression of Sir2 and Atg7 genes among fly lines with Nrv2-GAL4/UAS

RNA was extracted for reverse transcription. Semi-quantitative PCR was performed to determine the inducible mRNA expression levels of Sir2 (a) and Atg7 (b) genes with rp49 as control. (a) from 2 to 4, 1, 5.2, 5.2-fold increase for Sir2 mRNA level compared to the control (1) respectively; (b) from 2 to 4, 1, 0.1, 1-fold decrease for Atg7 mRNA level compared to the control (1) respectively. 1: Flies expressing MJDtr-Q27 with Nrv2-GAL4. Genotype of flies Nrv2-GAL4/UAS-MJDtr-Q27; 2: Flies expressing MJDtr-Q78 with Nrv2-GAL4. Genotype of flies UAS-MJDtr-Q78/+; Nrv2-GAL4/+; 3: Flies co- expressing expanded polyglutamine protein and Sir2 in the background of Atg7 knockdown. Genotype of flies is UAS-MJDtr-Q78/Sir2^{EP2300}; Nrv2-GAL4/UAS-Atg7^{RNAi}; 4: Flies co-expressing expanded polyglutamine protein and Sir2 gene. Genotype of flies is UAS-MJDtr-Q78/Sir2^{EP2300}; Nrv2-GAL4/+.

3 讨 论

SCA3/MJD 疾病是目前发现的 9 种多聚谷氨酰胺(polyglutamine, PolyQ)疾病中最常见的一种类型, 尽管已知其致病基因 *MJD1* 编码区 3'端 CAG 三核苷酸重复序列异常扩增, 导致其编码蛋白 ataxin-3 端基端的多聚谷氨酰胺 PolyQ 肽链异常扩展, 因而易于错误折叠而具有神经细胞毒性, 选择性地累及小脑、脑干及脊髓等部位, 导致神经元变性、死亡^[8], 但其确切的发病机制目前仍不清楚, 也无任何有效的治疗方法。Sir2 是依赖 NAD⁺的组蛋白去乙酰化酶 Sirtuins 家族的一员, 具有组蛋白 / 非组蛋白去乙酰化酶活性, 是卡路里限制(caloric restriction, CR)延长生物寿命的关键蛋白^[3], 在抗

细胞凋亡、抗老化以及调节细胞转录、能量代谢等方面也具有重要作用。为明确 Sir2 对 SCA3/MJD 疾病是否具有神经保护作用, 我们在 GMR-GAL4/UAS 系统 SCA3/MJD 转基因果蝇模型光感受神经元中过表达 Sir2, 结果发现, 在 Sir2 过表达的情况下, 果蝇复眼结构和色素明显好转, 高电压下单眼结构基本成型, 界限变得清楚。同样, 在果蝇运动方面, Sir2 过表达也显著改善 Nrv-2-GAL4/UAS 系统 SCA3/MJD 转基因果蝇的爬行能力和飞行能力, 提示 Sir2 过表达可以抑制 SCA3/MJD 转基因果蝇神经变性, 改善果蝇的运动能力, Sir2 过表达对 SCA3/MJD 转基因果蝇具有神经保护作用。

在 PolyQ 疾病中, 异常扩展的 PolyQ 蛋白发生错误折叠, 并倾向性聚集, 而具有神经细胞毒性, 被认为是疾病发生的始动因素, 因此, 这些细胞内错误折叠的 PolyQ 蛋白的有效清除对于维持神经细胞正常生理功能至关重要。近年来, 自噬 - 溶酶体通路(autophagy-lysosome pathway, ALP)被认为是除泛素 - 蛋白水解酶通路(ubiquitin-proteasome system, UPS)外细胞内另一个主要的蛋白质降解通路^[9], ALP 被证实可有效降解毒性的 PolyQ 蛋白及其聚集物, 在 HD 等 polyQ 疾病的病理生理机制中具有重要作用^[10]。研究表明: Sir2 可参与自噬小泡的形成, 并诱导 ALP, 降解功能受损的蛋白质, 而延长细胞寿命^[11]。在本研究中, 我们敲除了在自噬体形成过程中起重要作用的自噬相关蛋白 Atg7, 发现 Atg7 被敲除后, Sir2 对 GMR-GAL4/UAS 系统 SCA3/MJD 转基因果蝇神经变性的抑制作用显著减弱, 对 Nrv-2-GAL4/UAS 系统 SCA3/MJD 转基因果蝇的爬行能力和飞行能力的改善作用也明显下降, 提示自噬通路在 Sir2 对 SCA3/MJD 转基因果蝇的神经保护作用机制具有重要功能。

总之, 在本研究中, 我们证实了 Sir2 过表达

对 SCA3/MJD 转基因果蝇具有神经保护作用, 而 Sir2 的这种神经保护作用需要依赖自噬的功能, 然而关于 Sir2 抑制 SCA3/MJD 转基因果蝇神经变性的确切机制还需要进一步研究。

参 考 文 献

- [1] Zhao Y, Lim S W, Tan E K. Genetic analysis of SCA 27 in ataxia and childhood onset postural tremor. Am J Med Genet B Neuropsychiatr Genet, 2007, **144**(3): 395–396
- [2] Jiang H, Tang B, Xia K, et al. Spinocerebellar ataxia type 6 in Mainland China: Molecular and clinical features in four families. J Neurol Sci, 2005, **236**(1–2): 25–29
- [3] Tong L, Lee S, Denu J M. Hydrolase regulates NAD⁺ metabolites and modulates cellular redox. J Biol Chem, 2009, **284**(17): 11256–11266
- [4] Yamamoto H, Schoonjans K, Auwerx J, et al. Sirtuin functions in health and disease. Mol Endocrinol, 2007, **21**(8): 1745–1755
- [5] Han S H. Potential role of sirtuin as a therapeutic target for neurodegenerative diseases. J Clin Neurol, 2009, **5**(3): 120–125
- [6] Rogina B, Helfand S L. Sir2 mediates longevity in the fly through a pathway related to calorie restriction. Proc Natl Acad Sci USA, 2004, **101**(45): 15998–16003
- [7] Liu Z, Wang X, Yu Y A. *Drosophila* model for LRRK2-linked Parkinsonism. Proc Natl Acad Sci USA, 2008, **105**(7): 2693–2698
- [8] 李清华, 江泓, 易继平, 等. Hsp22 对 SCA3/MJD 转基因果蝇的神经保护作用研究. 生物化学与生物物理进展, 2008, **35**(12): 1430–1436
- [9] Li Q H, Jiang H, Yi J P, et al. Prog Biochem Biophys, 2008, **35**(12): 1430–1436
- [10] Sarkar S, Ravikumar B, Floto R A, et al. Rapamycin and mTOR-independent autophagy inducers ameliorate toxicity of polyglutamine expanded huntingtin and related proteinopathies. Cell Death Differ, 2009, **16**(1): 46–56
- [11] Wareski P, Vaarmann A, Choubey V, et al. PGC-1 α and PGC-1 β regulate mitochondrial density in neurons. J Biol Chem, 2009, **284**(32): 21379–21385
- [12] Salminen A, Kaarniranta K. SIRT1: regulation of longevity via autophagy. Cell Signal, 2009, **21**(9): 1356–1360

The Neuro-protective Role of Sir2 in The Process of Neuro-degeneration of The SCA3/MJD Model Flies is Dependent on Autophagy Function*

ZENG Ai-Yuan^{1)**}, ZHU Jing-Lei^{1)**}, HONG Kang-Kang¹⁾, ZHANG Zhuo-Hua²⁾, DUAN Ran-Hui²⁾, SUN Li¹⁾, LIU Cheng-Wei¹⁾, WEI Xiao-Li¹⁾, WEI Li-Li¹⁾, CHEN Mei-Ling¹⁾, LIN Xiao-Hui¹⁾, CHEN Wei¹⁾, LI Qing-Hua^{1)***}

(¹) Department of Neurology, Affiliated Hospital of Guilin Medical University, Guilin 541001, China;

(²) National Laboratory of Medical Genetics of China, Central South University, Changsha 410008, China)

Abstract To confer the influence of Sir2 on pathogenesis of SCA3/MJD, GMR-GAL4 and Nrv2-GAL4 system SCA3/MJD transgenic *Drosophila* models were constructed by using the promoter GMR-GAL4 and Nrv2-GAL4 which drive target selective gene expression in cells of the developing eyes and motor neurons, respectively. Then, Sir2 protein was overexpressed in SCA3/MJD transgenic *Drosophila* models by genetic methods with or without in a background of RNAi knockdown of *Atg7*. Overexpression of endogenous *Drosophila* Sir2 not only notably suppresses the neurotoxicity of MJDtr-Q78 protein, but also significantly improves the movement ability of flies. Moreover, RNAi knockdown of *Atg7* significantly Sir2's protection against SCA3/MJD *Drosophila*. We confirmed that overexpression of Sir2 could protect SCA3/MJD *Drosophila* models, and the protection role of Sir2 on SCA3/MJD *Drosophila* models is autophagy-dependent.

Key words SCA3, ataxin-3, Sir2, transgenic *Drosophila* models, neuroprotection

DOI: 10.3724/SP.J.1206.2011.00367

*This work was supported by grants from The National Natural Science Foundation of China (30960112, 81160163), The Natural Science Foundation of Guangxi Zhuang Autonomous Region (0991259,0899014), Project in Guangxi Department of Public Health (Z2007197) and Project in Science and Technology of Guilin city(20080707).

**These authors contributed equally to this work.

***Corresponding author.

Tel: 86-773-2823730, E-mail: qqli1999@yahoo.com.cn

Received: August 10, 2011 Accepted: September 26, 2011